具备不平衡电压补偿功能的台区 储能装置控制策略

李娟¹,魏亚龙²,张世乾²,龚培娇²

(1.许继集团有限公司,河南许昌 461000;

2. 西安许继电力电子技术有限公司, 陕西 西安 710075)

摘要:设计了一种具备电网电压不平衡补偿功能的三相四线制储能型低电压治理装置。首先,针对台区电网末端低电压问题,设计了一种有功-电压下垂和恒定功率因数相结合的控制方法,补偿了台区电网末端电压。其次,针对电网三相电压不平衡问题,提出了一种基于负序和零序虚拟阻抗的三相不平衡电压补偿方法,直接控制负序和零序电压,省略了负载电流传感器。最后,搭建 Matlab/Simulink 仿真模型和50 kW 中点电容式三相四线制T型三电平储能变流器实验平台,通过仿真和实验验证了所提控制方案的有效性。

关键词:三相四线制;低电压治理;电网电压不平衡治理;负序和零序虚拟阻抗

中图分类号:TM464 文献标识码:A DOI:10.19457/j.1001-2095.dqcd24967

Control Strategy for Energy Storage Devices in Substation Areas with Unbalanced Voltage Compensation Function

LI Juan¹, WEI Yalong², ZHANG Shiqian², GONG Peijiao²

(1. XuJi Group Co., Ltd., Xuchang 461000, Henan, China;

2. Xi' an XJ Power Electronics Technology Co., Ltd., Xi' an 710075, Shaanxi, China)

Abstract: A three-phase four-wire energy storage type low-voltage control device with the function of grid voltage unbalance compensation was designed. Firstly, a control method based on active voltage droop and constant power factor was introduced in detail to solve the problem of low voltage at the terminal of substation area power grid, which can compensate the low voltage at the terminal of substation area power grid. Secondly, a three-phase unbalance voltage compensation method based on negative sequence and zero sequence virtual impedance was proposed, which directly controls negative sequence and zero sequence voltage and omits the application of current sensor. Finally, a Matlab/Simulink simulation model and a 50 kW mid-point capacitor three-phase four-wire T-type three-level energy storage converter experiment platform were built, and the effectiveness of the proposed control scheme was verified through simulation and experiments.

Key words: three-phase four-wire; low-voltage control; grid voltage unbalance control; negative sequence and zero sequence virtual impedance

随着社会经济的发展,台区电力负荷日益提 升并呈现出季节性特征,现有的配电网络会出现 线路末端电压偏低、电压不平衡等问题,严重影响用户体验。

文献[1]提出一种基于静止无功补偿器的低电压治理方式,可实现线路阻抗呈感性条件下的电压补偿,但针对线路呈现为阻性特点的台区电

网治理效果不理想。文献[2-3]给出了一种基于负载电流检测的不平衡电压治理方案,通过对负载不平衡电流进行补偿,实现三相电压的平衡。但该方案只能安装在台区首端检测三相负载电流,无法兼顾台区末端低电压。

考虑到传统方案在台区电网领域的不足,本 文设计了一种储能型的低电压治理装置,针对台 区电网末端电压低的问题,实时将电网电压实际值和补偿设定值进行比较,利用注入有功和无功功率的方式实现台区电网末端低电压的抬升;针对台区电网末端三相电压不平衡问题,采用负序和零序电压控制,抑制并网点电压负序和零序成分。进一步地,考虑到装置容量有限,无法完全消除负序和零序成分,且台区电网末端电压强度随负荷的变化而变化,尤其是夜间,台区负荷最小,台区电网强度最高,此时由于负序和零序电压环的存在,势必会导致装置过载保护,因此本文在负序电压和零序电压控制环基础上引入虚拟阻抗,相当于在装置和电网之间引入了阻抗,降低电网不平衡度的同时,确保了台区在夜间电网强度增强时依然能够稳定运行。

三相四线制储能型低电压治理装置拓扑

如图1所示,三相四线制储能型低电压治理装置拓扑采用中点电容式T型三电平三相四线制逆变器拓扑。T型三电平直流侧中点O和交流侧滤波电容中点N连接,同时和台区电网的N线相连接。该拓扑相比四桥臂三相四线制拓扑,具有成本低、控制方法简单的优点,在电能质量治理领域得到了广泛应用。图中, L_1 为逆变侧滤波电感; L_2 为网侧滤波电感; C_f 为滤波电容组; Z_g 为电网等效阻抗; I_{La} , I_{Lb} , I_{Lb} ,力电感电流; I_a , I_b , I_b , I_b , I_b , I_b , I_b 为三相电网相电压。

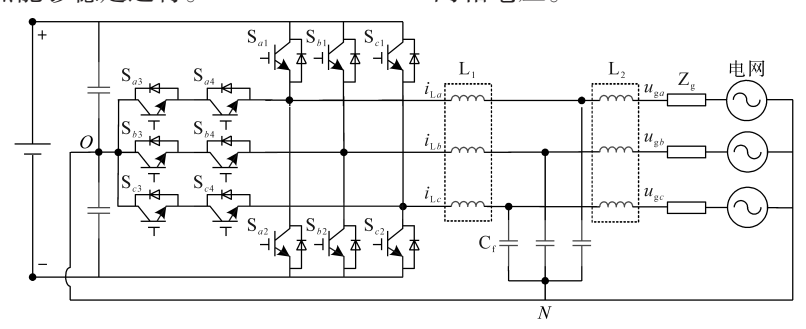


图1 三相四线制储能型低电压治理装置拓扑结构

Fig.1 Topology structure of three-phase four-wire energy storage low-voltage control device

台区电网末端低电压和三相不平衡问题最为显著,因此,工程上通常将低电压治理装置配置于电网末端,如图2所示。

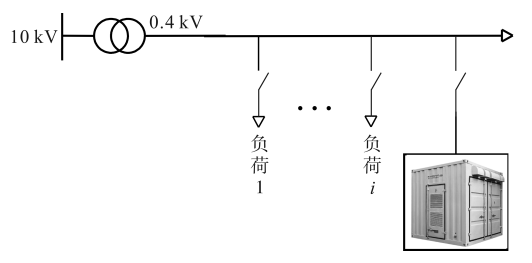


图 2 三相四线制储能型低电压治理装置接入方案

Fig.2 Connection scheme of three-phase four-wire energy storage low-voltage control device

2 低电压治理方案

治理"低电压"的工作原理就是当配电台区用户端电压低于正常电压时,低电压治理装置自动检测并会按设定系数放电,输出无功功率来提升用户端电压直到满足合格水平。在台区用户端电压达到正常范围时,储能装置从放电模式切换到充电模式。

低电压治理策略如图3所示,图中, P_{lim} 为有

功功率限值, Q_{im} 为无功功率限值。

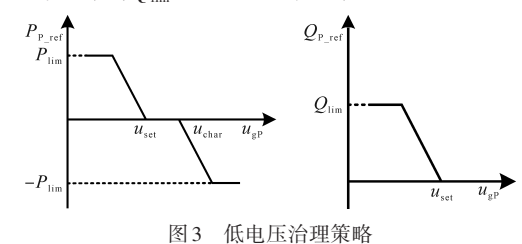


Fig.3 Control strategy of low voltage control

根据电网电压正序分量的幅值 $u_{\rm gP}$,由下式可得到正序有功功率指令 $P_{\rm P,ref}$:

$$P_{P_{\text{ref}}} = \begin{cases} k_{\text{p}} (u_{\text{gP}} - u_{\text{set}}) & u_{\text{gP}} < u_{\text{set}} \\ k_{\text{p}} (u_{\text{gP}} - u_{\text{char}}) & u_{\text{gP}} > u_{\text{char}} \end{cases}$$
(1)

式中: k。为有功补偿系数。

根据式(1),当 u_{gP} 小于电网电压补偿目标设定值 u_{set} 时,低电压治理装置放电,当 u_{gP} 大于电网电压 允许充电设定值 u_{chgr} 时,低电压治理装置充电。

由下式得到正序无功功率指令 Q:

$$Q_{P_{\text{ref}}} = \begin{cases} k_{p} k_{pf} (u_{gP} - u_{\text{set}}) & u_{gP} < u_{\text{set}} \\ 0 & u_{gP} > u_{\text{char}} \end{cases}$$
 (2)

按照设定功率因数 k_{pr} ,低电压治理装置输出感性无功,从而抬升电网电压;当 u_{pp} 大于电网电压允

许充电电压设定值 u_{char} 时,低电压治理装置充电,同时由式(2)可得 $Q_{P,ret}$ 为0,低电压治理装置充电,从而降低电网电压。

3 三相不平衡电压治理方案

3.1 正负零序电流环及中点电位控制

具备负序和零序电压控制的低电压治理装置控制框图如图 4 所示。其中, u_{dp} , u_{qp} , u_{dn} , u_{qn} , u_{z} 分别为电网电压正序 d,q 轴分量、负序 d ,q 轴分量和零序电压; $P_{P,ref}$, $Q_{P,ref}$ 分别为正序有功功率、无功功率指令; $u_{dn,ref}$, $u_{qn,ref}$, $u_{z,ref}$ 分别为负序 d ,q 轴和零序电压指令; $i_{dp,ref}$, $i_{dp,ref}$, $i_{dn,ref}$, $i_{qn,ref}$, $i_{z,ref}$ 分别为正序d ,d 和和零序电流指令; i_{Ld} , i_{Lq} , i_{Lq} 分别为电感电流 d ,d 轴分量、零序分量; Δu_{dc} 为上、下母线电压差。

图4中,正、负序电流环采用PI和2次PR的

电流内环的复合控制方法。PI调节器用于控制 电感电流中经过 abc/dq 变换后得到的直流正序分 量,2次PR调节器用于控制电感电流中经abc/dq 变换后得到的二倍频交流负序分量。零序分量 则采用1次PR和3次PR的零序电流环控制,其 中1次PR用于跟踪基波分量,3次PR用于消除电 网电压不平衡下零序电流中的3次成分。负序电 压外环用于控制电网电压中的负序成分。零序 电压外环用于控制电网电压中的零序成分。另 外,正、负序电流环的负序电流指令 $i_{n\alpha ref}$ 和 $i_{n\beta ref}$ 为 负序d,q轴电流指令 $i_{nd ref}$ 和 $i_{nd ref}$ 经过负序二倍频 反 Park 变换得到^[4]。直流侧中点电位控制采用 PI 控制,上、下母线电压差 Δu_{a} 经PI调节器后得到 零序控制量,并将其叠加到零轴,与零序电流 环并联,共同实现零序电流和中点电位控制的 目标[5]。

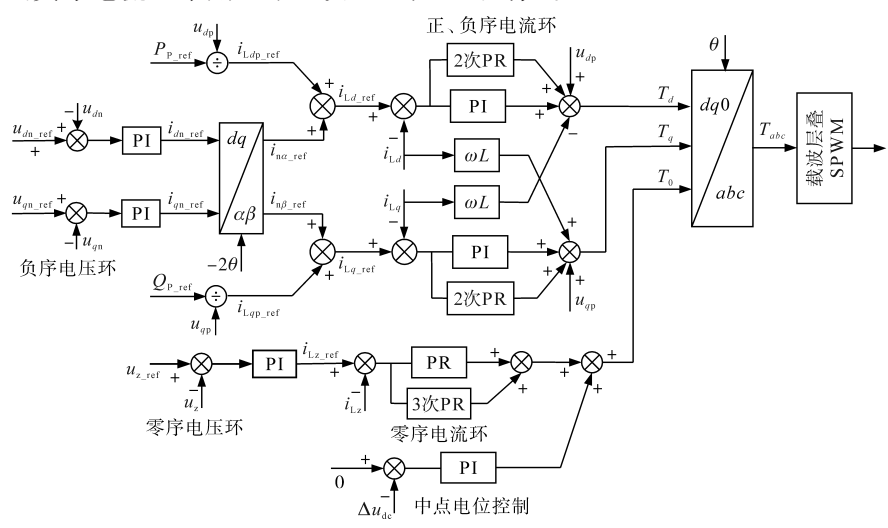


图 4 具备负序和零序电压控制的低电压治理装置控制框图

Fig.4 Control block diagram of low-voltage control device with negative sequence and zero sequence voltage control

3.2 正负序分离

为实现对台区电网电压中的负序和零序电压的控制,以及实现负序和零序虚拟阻抗,需要对电压和电流进行负序和零序分量的提取^[6]。以台区三相电网电压 u_{abc} 为例,根据对称分量法,得到正序分量为 u_{abc} P,负序分量为 u_{abc} N,如下式所示:

$$\begin{cases} u_{abc_P} = \frac{1}{3} \mathbf{T}^+ u_{abc} = \frac{1}{3} \begin{bmatrix} 1 & \alpha & \alpha^2 \\ \alpha^2 & 1 & \alpha \\ \alpha & \alpha^2 & 1 \end{bmatrix} u_{abc} \\ u_{abc_N} = \frac{1}{3} \mathbf{T}^- u_{abc} = \frac{1}{3} \begin{bmatrix} 1 & \alpha^2 & \alpha \\ \alpha & 1 & \alpha^2 \\ \alpha^2 & \alpha & 1 \end{bmatrix} u_{abc} \end{cases}$$
(3)

对式(3)进行 $abc/\alpha\beta$ 坐标变换,得到 $\alpha-\beta$ 坐标系下

的电压正、负序分量如下式所示:

 $u_{\alpha\beta_{-P}} = C_{32}u_{abc_{-P}} = C_{32}T^{+}u_{abc} = C_{32}T^{+}C_{32}^{-1}u_{\alpha\beta}$

$$C_{32} = \begin{bmatrix} 1 & -\frac{1}{2} & -\frac{1}{2} \\ 0 & \frac{\sqrt{3}}{2} & -\frac{\sqrt{3}}{2} \end{bmatrix}$$

$$\alpha = e^{j\frac{2}{3}\pi} \quad m = e^{-j\frac{\pi}{2}}$$

式(4)在提取过程中要对 $u_{\alpha\beta}$ 进行90°延时。 本文采用了全通滤波器(all pass filter, APF)的方 法实现相位延时。正、负序分离控制框图如图5 所示, u_{α} 和 u_{β} 分别为电网电压 α , β 轴分量, $u_{\alpha P}$, $u_{\beta P}$, $u_{\alpha N}$, $u_{\beta N}$ 分别为 u_{α} 和 u_{β} 对应的正、负序分量。

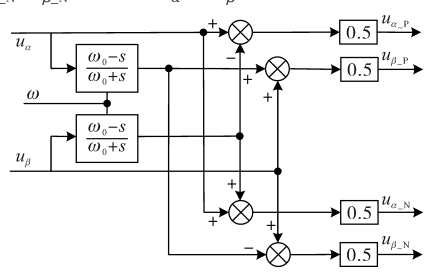


图5 正、负序分离控制框图

Fig.5 Control block diagram of positive and negative sequence separation

3.3 负序和零序虚拟阻抗方案

考虑低电压治理装置容量有限,在兼顾低电压治理的同时不可能将不平衡电压中的负序和零序分量完全消除,尤其考虑到夜间台区电网负荷降低导致并网点电压强度增强,如果采用3.1节中的负序和零序电压控制环,势必导致装置过电流故障。因此,本文通过引入虚拟阻抗,可在一定程度上降低负序电压和零序电压,降低三相不平衡度。由于虚拟阻抗的引入,使得并网点和低电压治理装置之间等效串联了负序阻抗和零序阻抗,确保装置在台区夜间电网强度增强时也能够稳定运行。另外,虚拟阻抗的取值直接关系到补偿效果,虚拟阻抗值越小,补偿效果越好,但输出电流会增大,在强网环境下系统容易不稳定。因此,在工程应用中需要根据实际场景确定虚拟阻抗值。

引入负序虚拟阻抗的负序电压如下:

$$\begin{cases} u_{d_{\text{n_ref}}} = 0 - R_{\text{n}} i_{d_{\text{n}}} + \omega L_{\text{n}} i_{q_{\text{n}}} \\ u_{q_{\text{n_ref}}} = 0 - R_{\text{n}} i_{q_{\text{n}}} - \omega L_{\text{n}} i_{d_{\text{n}}} \end{cases}$$
(5)

式中: u_{dn_ref} , u_{qn_ref} 为增加负序虚拟阻抗后的负序 d,q轴电压参考值; R_n , L_n 为负序虚拟阻抗; i_{dn} , i_{qn} 为负序电流d,q轴分量; ω 为电网角频率。

负序虚拟阻抗控制框图如图 6 所示,负序d,q 轴电流经过虚拟阻抗后,得到 d, q 轴压降 Δu_{dn} 和 Δu_{qn} ,取反后得到负序 d, q 轴电压参考值 u_{dn} ref α α α ref α

引入零序虚拟阻抗的零序电压如下式所示:

$$\begin{cases} u_{dz_{\text{ref}}} = 0 - R_z i_{dz} + \omega L_z i_{qz} \\ u_{qz_{\text{ref}}} = 0 - R_z i_{qz} - \omega L_z i_{dz} \end{cases}$$
 (6)

式中: u_{dr} ref, u_{dr} ref 分别为经零序虚拟阻抗后的d,q

轴电压参考值; R_x , L_x 为零序虚拟阻抗; ω 为电网角频率。

图 7 为零序虚拟阻抗控制框图,零序电流通过全通滤波器得到虚拟 β 轴分量,经反 Park 变换并增加零序虚拟阻抗,最后将压降 Δu_{dx} 和 Δu_{qx} 分量经坐标变换得到零序虚拟阻抗压降的 α 轴分量 Δu_{qx} ,对其求反得到零序电压参考值 $u_{x,refo}$

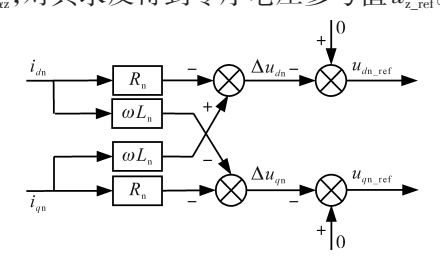


图 6 负序虚拟阻抗控制框图

Fig.6 Virtual impedance control block diagram

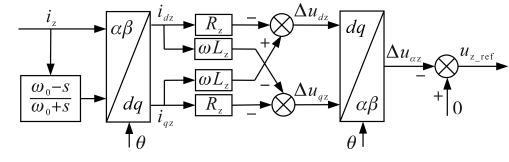


图7 零序虚拟阻抗控制框图

Fig.7 Control block diagram of zero sequence virtual impedance

4 仿真与实验验证

4.1 仿真分析

为验证低电压治理方法和基于负序、零序虚拟阻抗的不平衡电压治理方法,搭建 Matlab/Simulink 仿真模型并展开仿真分析,仿真参数为:直流母线电压 700 V,额定线电压 400 V,开关频率 16 kHz,配电网线路电阻 $0.2~\Omega$,滤波电感 0.25~mH,滤波电容 $20~\mu F$,阻尼电阻 $0.5~\Omega$,配电网线路电感 0.2~mH。

在 0.3 s 投入低电压治理算法,0.5 s 投入不平 衡电压治理算法的仿真工况下,设置配电台区本 地 A , B , C 三相负荷分别为 50 kW/10 kvar , 25 kW/5 kvar , 25 kW/15 kvar

在图 8a 中,0.3 s 前不投入低电压治理算法和不平衡电压补偿算法,三相电网相电压 u_a , u_b , u_c 峰值分别达到了 270 V,295 V,250 V;在 0.3 s 投入不平衡电压补偿算法后,三相电网相电压 u_a , u_b , u_c 峰值分别达到了 280 V,306 V,260 V;0.5 s 投入低电压治理算法后,三相电网相电压 u_a , u_b , u_c 峰值分别达到 277 V,288 V,275 V。

由图 8b 可知,0.3 s 前不投入低电压治理算法和不平衡电压补偿算法,电网 d ,q 轴电压正、负序分量 u_{dp} , u_{qp} , u_{dm} , u_{dm} 分别为 269 V,0 V ,2 V 和 14 V ,

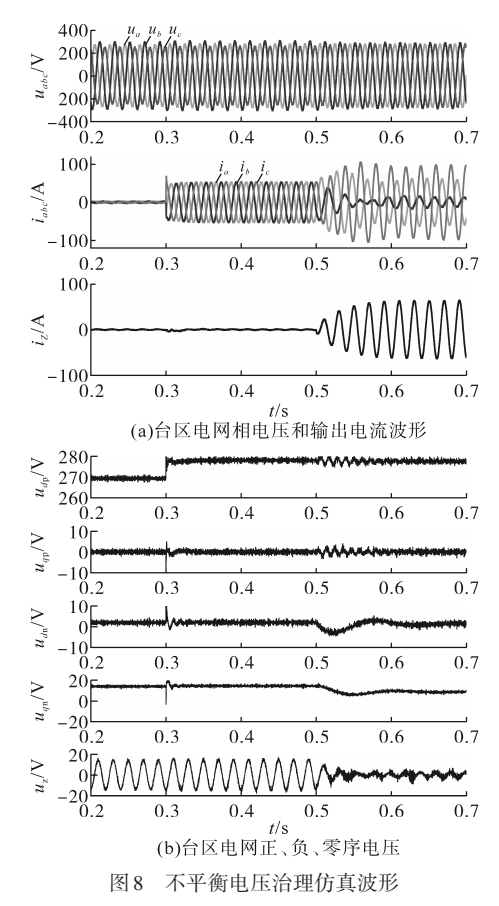


Fig.8 Simulation waveforms of unbalanced voltage control 零序分量峰值为 14 V; 0.3 s 投入低电压治理算法后, u_{dp} , u_{qp} , u_{dn} , u_{qn} 分别为 278 V, 0 V, 2 V 和 14 V, 零序分量峰值仍为 14 V; 0.5 s 投入不平衡电压补偿算法后, u_{dp} , u_{qp} , u_{dn} , u_{qn} 分别为 278 V, 0 V, 1 V和 8 V, 零序分量峰值为 4 V。

综上所述,投入低电压治理和不平衡电压补 偿算法后,台区电网电压得到提升并且不平衡度 有所降低,验证了本文所提方法的有效性。

4.2 实验验证

本文搭建了50 kW 中点电容式T型三电平 RTDS实验平台,实验平台参数与仿真参数一致。 配电台区三相本地负荷为 3Ω , 6Ω 和 9Ω 。

不平衡电压治理实验波形如图 9 所示,投入不平衡电压补偿算法前,三相电网电压 u_a,u_b,u_c 峰值分别为 295 V,320 V 和 326 V,3.6 s投入不平衡电压补偿算法后,峰值变化为 315 V,316 V 和 321 V。可见,不平衡电压补偿算法能有效降低三相电网电压不平衡度。

低电压治理实验波形如图 10 所示,投入低电压治理算法前,三相电网电压 u_a , u_b , u_c 峰值分别为 314 V,316 V和 322 V,1.15 s 投入低电压治理算法后,峰值分别变化为 322 V,323 V和 330 V。

可见,低电压治理算法能实现装置对各相电压 的补偿。

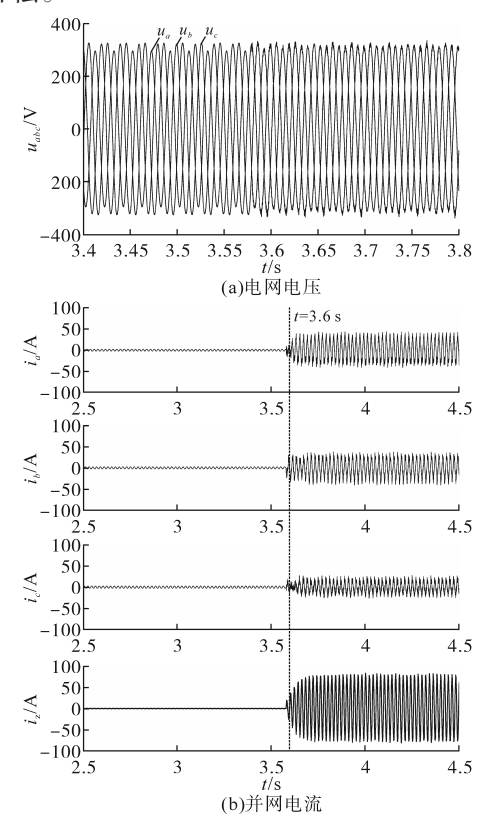


图9 不平衡电压治理实验波形

 $Fig. 9 \quad Experimental \ waveforms \ of \ unbalanced \ voltage \ control$

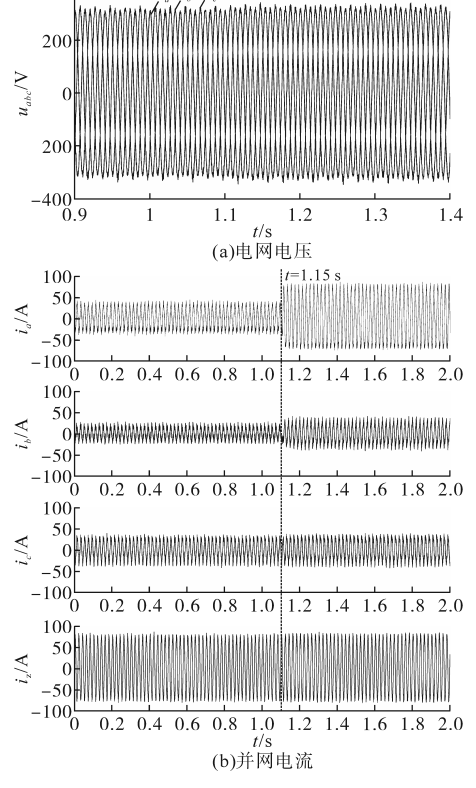


图 10 低电压治理实验波形

Fig.10 Experimental waveforms of low-voltage control

5 结论

本文设计了一种储能型低电压治理装置,依 托有功-电压下垂结合恒定功率因数的控制方 法,有效解决了台区末端低电压问题;针对台区 电网末端三相电压不平衡问题,基于负序和零序 虚拟阻抗的三相不平衡电压补偿方法,对负序和 零序电压直接控制。仿真和实验结果证明了所 提方法的有效性。

参考文献

- [1] 邓惠华,李国良,周晓明,等.基于协调控制SVG的低压配网 三相负荷不平衡治理技术[J]. 电工技术学报,2017,32(S1): 75-83.
 - DENG Huihua, LI Guoliang, ZHOU Xiaoming, et al. The control technology of three-phase unbalance load in low voltage distribution networks based on coordinated controlled SVGs[J]. Transactions of China Electrotechnical Society, 2017, 32(S1): 75–83.
- [2] 庞庆,彭琪,余祥,等. 三相四线制 APF 谐波检测和控制策略的研究[J]. 电力电子技术,2018,52(6):96-100.
 - PANG Qing, PENG Qi, YU Xiang, et al. Study of the harmonic detection and the control strategy for the apf of three-phase four-line[J]. Power Electronics, 2018, 52(6):96–100.

- [3] 李佳,王群京,张茂松,等.LCL型三相四线制 APF 的准比例 谐振控制研究[J].电力电子技术,2021,55(5):4-7,77. LI Jia, WANG Qunjing, ZHANG Maosong, et al. Research on
 - quasi-proportional resonant control of LCL three-phase four-wire APF[J]. Power Electronics, 2021, 55(5):4–7,77.
- [4] 王恒利,付立军,肖飞,等. 三相逆变器不平衡负载条件下双 环控制策略[J]. 电网技术,2013,37(2):398-404. WANG Hengli, FU Lijun, XIAO Fei, et al. A double-loop con
 - trol srategy for three-phase inverter with unbalanced load[J]. Power System Technology, 2013, 37(2):398-404.
- [5] 黄新梅,王珺璨,张庆岩,等. 三相四线制三电平并网变流器中点电压研究[J]. 电力电子技术,2021,55(4):128-132.

 HUANG Xinmei, WANG Juncan, ZHANG Qingyan, et al. Neutral point voltage analysis for three-phase four-wire three-level grid-connected converter[J]. Power Electronics, 2021, 55(4): 128-132
- [6] 张纯江,聂文卿,庆宏阳,等.基于加权控制的三相四线储能 逆变器输出电压不平衡抑制[J].电工电能新技术,2022,41 (6):10-20.
 - ZHANG Chunjiang, NIE Wenqing, QING Hongyang, et al. Unbalance suppression for output voltage of three-phase four-wire energy-storage inverter based on weighted control[J]. Advanced Technology of Electrical Engineering and Energy, 2022, 41 (6):10-20.

收稿日期:2023-02-21 修改稿日期:2023-04-24

(上接第47页)

2016,29(6):125-129.

- [5] 杨春燕. 电力机车与城轨车辆双制式牵引供电系统的研究 [D]. 大连:大连交通大学,2009.
 - YANG Chunyan. The research of dual-mode traction power supply system for electric locomotive and urban rail vehicle[D]. Dalian: Dalian Jiaotong University, 2009.
- [6] 王志荣. 双流制列车通过中性段的供电切换方案研究[J]. 城市轨道交通研究,2016,19(6):128-132.
 - WANG Zhirong. Power supply switching scheme for dual-current vehicle passing the pantograph neutral section[J]. Urban Mass Transit, 2016, 19(6):128-132.
- [7] 晋钰,杨振龙.交直流转换场牵引供电系统技术研究[J]. 电气化铁道,2012,23(3):20-22.
 - JIN Yu, YANG Zhenlong. The technique research on traction power supply system of DC-AC transformation ground[J]. Electric Railway, 2012, 23(3):20-22.
- [8] 张立伟,黄先进,游小杰,等.欧洲主力交流传动机车主牵引系统介绍[J]. 电工技术学报,2007,22(7):186-190.

- ZHANG Liwei, HUANG Xianjin, YOU Xiaojie, et al. Introduction of electrical traction system for european main AC locomotives[J]. Transactions of China Electrotechnical Society, 2007, 22(7):186–190.
- [9] 钟俊颜. 浅谈多流制电力机车主电路拓扑结构[J]. 技术与市场,2013,20(7):3-4.
 - ZHONG Junyan. Introduction to multiple current system of electrical locomotive main circuit topology structure[J]. Technology and Market, 2013, 20(7):3–4.
- [10] STEIMEL A. Under Europe's incompatible catenary voltages a review of multi-system traction technology[C]//2012 Electrical Systems for Aircraft, Railway and Ship Propulsion, 2012:1–8.
- [11] ZHAO W, TIAN X, JIANG Q, et al. Analysis of problems during locomotive passing neutral section and novel neutral section passing scheme[C]//2018 IEEE Transportation Electrification Conference and Expo, Asia-Pacific, 2018; 1-6.

收稿日期:2023-11-14 修改稿日期:2023-12-26